

PENGARUH PENAMBAHAN TAHANAN LUAR (R_{luar}) TERHADAP TORSI MOTOR INDUKSI 3 PHASA JENIS ROTOR BELITAN DL 10120RHD3

Zainal Abidin

Email : zainal@polbeng.ac.id

Program Studi Teknik Listrik
Politeknik Negeri Bengkalis

Abstrak

Karakteristik motor induksi sebagai penggerak ditentukan berdasarkan parameternya, yaitu : tahanan stator, tahanan rotor, reaktansi bocor stator, reaktansi bocor rotor, reaktansi magnetisasi dan tahanan inti besi. Nilai parameter tidak termuat dalam name plate motor dan nilai parameter dapat dicari dengan melakukan pengujian tahanan DC, pengujian beban nol (*no load*) dan pengujian rotor tertahan (*block- rotor*). Pengujian beban nol disimulasikan dengan memaksimalkan tahanan rotor, dimana slip mendekati nol ($s = 0$) dan pengujian rotor tertahan disimulasikan dengan menahan rotor tetap diam atau menimumkan nilai tahanan rotor, dimana slip bernilai satu ($s = 1$). Hasil pengujian, parameter motor induksi 3phasa DL 10120RHD3 dengan Tahanan Stator (R_1) = 1,77 Ω , Tahanan Rotor (R_2) = 0,42 Ω , Reaktansi stator (X_1) = 3,51 Ω , Reaktansi stator (X_2) = 3,51 Ω dan Reaktansi magnetik (X_m) = 58,95 Ω . Pengaruh penambahan R_{luar} mengakibatkan T_{start} dan Slip mengalami kenaikan, dimana $R_{luar} = 0 \Omega$, nilai $T_{start} = 5,85 \text{ Nm}$, Slip = 0,06 dan $R_{luar} = 6 \Omega$, nilai $T_{start} = 43,13 \text{ Nm}$, Slip 0,88 dan I_{start} mengalami penurunan, dimana $R_{luar} = 0 \Omega$, nilai $I_{start} = 27,07 \text{ A}$ dan $R_{luar} = 6 \Omega$, nilai $I_{start} = 18,80 \text{ A}$. Hasil pengujian dan perhitungan menunjukkan arah dengan karakteristik sama dengan nilai yang berbeda

Kata kunci : Motor induksi 3phasa, rotor belitan, paramater motor induksi

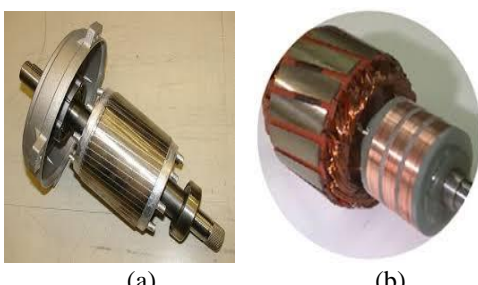
b. rotor belitan (*wound-rotor motor*).

1. PENDAHULUAN

Jenis Motor Induksi 3phasa

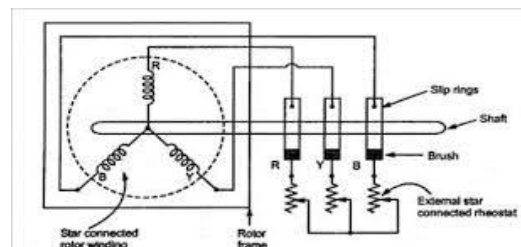
Ada dua jenis motor induksi 3phasa berdasarkan rotor, yaitu: Motor induksi 3phasa jenis rotor sangkar tupai (*squirrel-cage motor*) dan motor induksi 3phasa jenis rotor belitan (*wound-rotor motor*). Kedua jenis motor ini bekerja pada prinsip dan konstruksi stator yang sama tetapi berbeda dalam konstruksi jenis rotor dan karakteristik torka-kecepatan.

Motor induksi 3phasa rotor belitan berbeda dengan motor induksi 3phasa rotor sangkar tupai dalam hal konstruksi rotornya. Motor dengan jenis rotor dililit dengan lilitan terisolasi serupa dengan lilitan stator.



Gambar 1. Jenis rotor motor induksi 3phasa
a. rotor sangkar tupai (*squirrel-cage motor*)

Lilitan fasa rotor dihubungkan secara star (Y) dan masing – masing fasa ujung terbuka yang dikeluarkan ke cincin slip yang terpasang pada poros rotor. Secara skematis motor induksi 3phasa jenis rotor belitan diperlihatkan pada Gambar 2



Gambar 2. Skematik motor induksi 3phasa jenis rotor belitan

Cincin slip dan sikat merupakan penghubung tahanan kendali variabel luar ke dalam rangkaian rotor. Cincin slip yang terhubung ke tahanan variabel eksternal berfungsi membatasi arus pengasutan. Selama pengasutan, penambahan tahanan eksternal menghasilkan torsi pengasutan lebih besar dengan arus pengasutan lebih kecil jika dibanding dengan rotor sangkar tupai.

Rangkaian ekivalen mesin listrik AC dinamis

Data yang didapat dari pengujian penggunaan penambahan tahanan luar akan dibandingkan dengan hasil perhitungan.

Data Motor :

Motor induksi 3phasa, Jenis rotor : rotor belitan
spesifikasi motor:

Conection	: Δ/Y
Tegangan	: 220/380V
Arus	: 10,7 / 6,2 A
Daya (P)	: 1,1 KW,
Cosφ	: 0,67
n	: 1410 rpm,
f	: 50 Hz
Kelas	: B

Lokasi Pengujian :

Laboratorium mesin listrik jurusan teknik elektro lantai 2

Hasil Pengujian

Tabel 2. Pengujian Tahanan DC

Sisi	Phasa	V _{DC} (V)	I _{DC} (A)
Stator terhubung Y	U - V	13,2	4,1
	U - W	13,2	4,1
	V - W	13,2	4,1
Rotor terhubung Y	K - L	3,9	5,1
	K - M	3,9	5,1
	L - M	3,9	5,1

Tabel 3. Pengujian beban nol (No Load)

V _{bn} (V)	I _{bn} (A)	P _{bn} (W)
370	3,42	332

Tabel 4. Pengujian Rotor tertahan (Block Rotor)

V _{br} (V)	I _{br} (A)	P _{br} (W)
94	6,6	560

Tabel 5. Pengujian pengaruh tahanan luar (R_{luar}) terhadap torsi awal, arus rotor , slip dan η_{rotor} (rpm) dengan Vsumber : 370 V

R _{luar}	Torsi awal (Nm)	I _{rotor} (A)	Slip	η _{rotor} (rpm)
0	5,85	27,07	0,06	1435
1	18,17	25,95	0,19	1311
2	27,29	24,59	0,33	1245
3	34,68	23,10	0,47	1185
4	39,20	21,60	0,60	1075
5	41,85	20,16	0,74	1004
6	43,13	18,80	0,88	946

3. HASIL DAN PEMBAHASAN

Parameter Motor Induksi Tiga Fasa Rotor Belitan

Pengujian Tahanan DC

Tahanan Stator :

$$R_1 = R_{1ac} = \frac{V_{dc}}{2 \times I_{dc}} \times 1,1$$

$$R_1 = R_{1ac} = \frac{13,2}{2 \times 4,1} \times 1,1 = 1,77 \Omega$$

Tahanan Rotor :

$$R_2 = R_{2ac} = \frac{V_{dc}}{2 \times I_{dc}} \times 1,1$$

$$R_2 = R_{2ac} = \frac{3,9}{2 \times 5,1} \times 1,1 = 0,42 \Omega$$

Rotor Tertahan (Block Rotor) :

Impedansi rotor tertahan:

$$Z_{br} = \frac{V_{br}}{\sqrt{3} I_{br}} = \frac{94}{\sqrt{3} \times 6,6} = 8,22$$

$$\theta_{br} = \cos^{-1} \left(\frac{P_{br}}{\sqrt{3} V_{br} \times I_{br}} \right)$$

$$\theta_{br} = \cos^{-1} \left(\frac{560}{1074,56} \right)$$

$$\theta_{br} = 58,59^0$$

Reaktansi rotor tertahan :

$$X_{br1} = Z_{br} \times \sin(\theta_{br})$$

$$X_{br1} = 8,22 \times 0,8327 = 7,01 \Omega$$

Maka :

$$\text{Reaktansi stator : } X_1 = 0,5 \times X_{br1} = 3,51 \Omega$$

$$\text{Reaktansi rotor : } X_2 = 0,5 \times X_{br1} = 3,51 \Omega$$

Pengujian beban Nol (No Load)

Impedansi beban nol :

$$Z_{nl} = \frac{V_{nl}}{\sqrt{3} I_{nl}} = \frac{370}{\sqrt{3} \times 3,42} = 62,46 \Omega$$

Reaktansi Magnetik :

$$X_m = Z_{nl} - X_1 = 62,46 - 3,51 = 58,95 \Omega$$

Tabel 6. Parameter motor induksi :

Parameter	Ω
Tahanan Stator (R_1)	1,77
Tahanan Rotor (R_2)	0,42
Reaktansi stator (X_1)	3,51
Reaktansi stator (X_2)	3,51
Reaktansi magnetik (X_m)	58,95

Torsi MaksimumTegangan Thevinin (V_{th})

$$|V_{th}| = \frac{V_{in}}{\sqrt{3}} \left(\frac{X_m}{\sqrt{R_1^2 + (X_1 + X_m)^2}} \right)$$

$$|V_{th}| = 201,02 \text{ V}$$

Tahanan Ekivalen :

$$Z_{th} = \frac{jM_m(R_1 + jX_1)}{R_1 + j(X_1 + X_m)} = 1,51 + j3,51 \Omega$$

Tahanan Ekivalen : $R_e = 1,51 \Omega$ Reaktansi Ekivalen : $X_e = j3,51 \Omega$

Kecepatan Sinkron dalam rpm :

$$n_s = \frac{120f}{p} = \frac{120 \times 50}{4} = 1500 \text{ rpm}$$

Kecepatan Sinkron dalam rad/s

$$\omega_s = n_s \times \frac{2\pi}{60} = 157,08 \text{ rad/s}$$

Torsi Maksimum :

$$T_{maks} = \frac{3(V_{th})^2}{2\omega_s \left(R_e + \sqrt{R_e^2 + (X_e + X_2)^2} \right)^2}$$

$$T_{maks} = 35,22 \text{ Nm}$$

Pengaruh tahanan luar ($R_{luar} = 0, 1, 2, 3 \dots \dots 6$) terhadap Torsi start , Arus start dan Slip**Torsi start :**

$$T_{start} = \frac{3}{\omega_s} \left(\frac{V_{th}^2 (R_2 + R_{luar})}{(R_e + R_2 + R_{luar})^2 + (X_e + X_2)^2} \right)$$

$$R_{luar} = 0$$

$$T_{start} = 5,85 \text{ Nm}$$

Arus start :

$$|I_{start}| = \frac{V_{th}}{\sqrt{(R_e + R_2 + R_{luar})^2 + (X_e + X_2)^2}}$$

$$R_{luar} = 0$$

$$|I_{start}| = 27,07 \text{ A}$$

Slip :

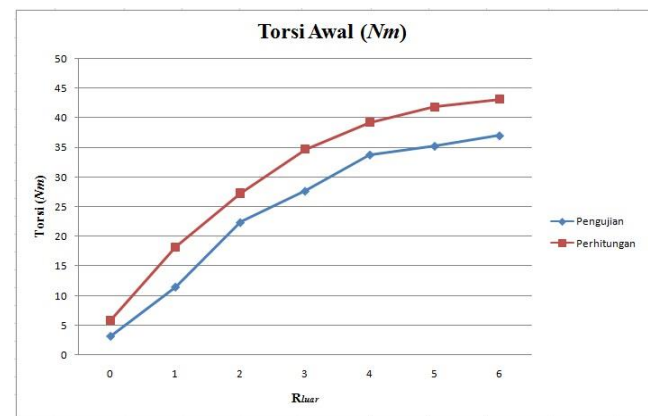
$$S = \frac{R_2 + R_{luar}}{\sqrt{(R_e)^2 + (X_e + X_2)^2}}$$

$$R_{luar} = 0$$

$$S = 0,06$$

Tabel 6. Hasil perhitungan pengaruh R_{luar} terhadap Torsi awal , arus start dan slip

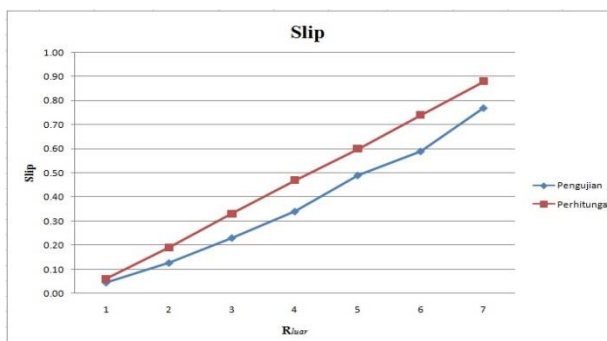
$R_{luar} (\Omega)$	$T_{start}(Nm)$	$I_{start}(A)$	S
0	5,85	27,07	0,06
1	18,17	25,95	0,19
2	27,29	24,59	0,33
3	34,68	23,10	0,47
4	39,20	21,60	0,60
5	41,85	20,16	0,74
6	43,13	18,80	0,88



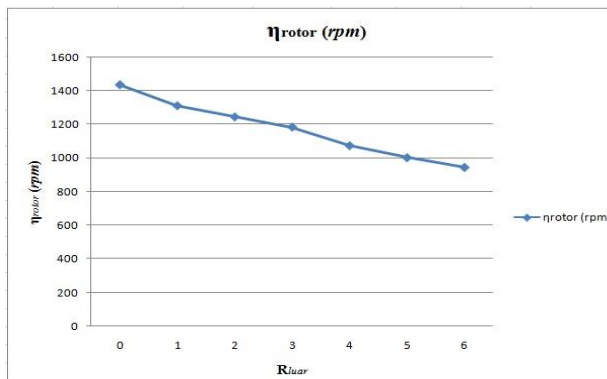
Gambar 5. Grafik Torsi awal perhitungan VS pengujian



Gambar 6. Grafik Arus start perhitungan VS pengujian



Gambar 7. Grafik Slip perhitungan VS pengujian



Gambar 8. Grafik pengaruh kecepatan putar rotor terhadap R_{luar}

4. KESIMPULAN

Diperoleh beberapa kesimpulan akibat pengaruh penambahan tahanan luar yang terpasang seri terhadap rotor, yaitu:

1. Kenaikan torsi awal hasil perhitungan lebih halus jika dibandingkan dengan hasil pengujian.
2. Torsi awal bertambah besar sampai dengan nilai tertentu dengan bertambahnya nilai tahanan luar (R_{luar})
3. Arus start yang dihasilkan semakin kecil.
4. Torsi maksimum terjadi pada slip yang berbeda-beda dan akan semakin cepat didapat
5. kecepatan motor dapat diatur tanpa mempengaruhi torsi maksimum dan nilai torsi maksimum semakin cepat diperoleh.
6. Torsi maksimum terjadi pada slip yang berbeda-beda
7. Torsi maksimum sebanding dengan besar tegangan masuk pada stator.
8. Torsi maksimum dipengaruhi oleh besarnya tahanan dan dua induktansi, yaitu induktansi pada kumparan stator dan induktansi pada kumparan rotor
9. faktor daya motor pada saat start dapat diperbaiki

DAFTAR PUSTAKA

- [1] Nagrath, I.J., D.P. Kothari. *Electric Machines*. McGraw-Hill, New Delhi, 1999
- [2] Seung-Ki Sul. *Control of Electric Machine Drive Systems*, John Wiley and Sons, Inc., New Jersey, 2011
- [3] Katsuhiko Ogata, “Modern Control Engineering” Third Edition Prentice-Hall International, Inc. 1997
- [4] IEEE Standards 112., *Standard Test Procedure for Polyphase Induction Motors and Generators*. USA: Institute of Electrical and Electronics Engineers, Inc. 2004
- [5] NEMA Standards Publication. *Information Guide for General Purpose Industrial AC Small and Medium Squirrelcage Induction MotorStandars*.Virginia. 2002.
- [6] Yandri, “Penentuan Parameter dan Arus Asut Motor Induksi Tiga Fasa”, jurnal ELKHA. Vol. 3, No.2, Juli 2011
- [7] Suyamto, “analisis daya dan torsi pada motor induksi”. seminar nasional V, teknologi nuklir yogyakarta, 5 November 2009.
- [8] Ahyanuardi, “ pemodelan perilaku dinamik motor induksi tiga fasa”, Jurusan Teknik Elektro FT UNP,
- [9] Tasma Sucita, dan Leli Alhapip, *Analisis karakteristik beban nol motor induksi rotor Sangkar saat pengasutan menggunakan toolbox power system blockset program simulasi matlab simulink*, ELEC-trans vol. I No. 2 September 2002
- [10] Andyk Probo Prasetya, Abdul Hamid dan Yusuf Ismail Nakhoda .”Analisis perbandingan sistem pengasutan Motor induksi 3 fasa sebagai penggerak pompa pada perusahaan daerah air minum (pdam) wendit malang”. Jurnal Elektro ELTEK Vol. 3, No. 1, April 2012
- [11] Isnanto Heru Purnomo , *Analisis motor induksi 3 fasa dengan metode kerangka referensi* , Jurusan Teknik Elektro Fakultas Teknik

Universitas Diponegoro

- [12] Iwan Setiawan , “*Studi Komparatif Arus Asut Motor Induksi Tiga Fasa Standar NEMA Berdasarkan Rangkaian Ekivalen Dan Kode Huruf*” , Program Studi Teknik Elektro Jurusan Teknik Elektro Fakultas Teknik Universitas Tanjungpura
- [13] Saefurrochman dan Suprapto , “*analisa uji transformator 350 v/20 a untuk catu daya nitridasi plasma double chamber* , Pusat Teknologi Akselerator dan Proses Bahan-BATAN, Yogyakarta. Juli 2011